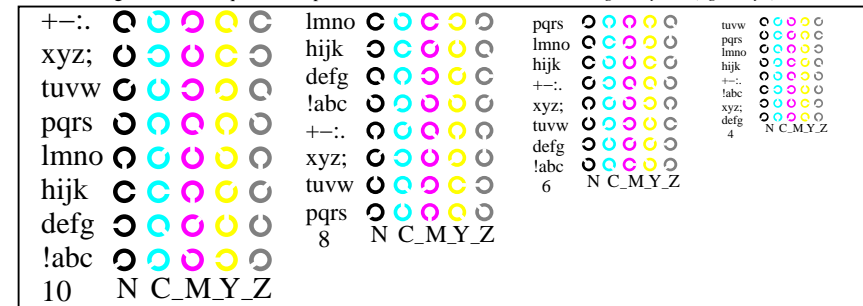
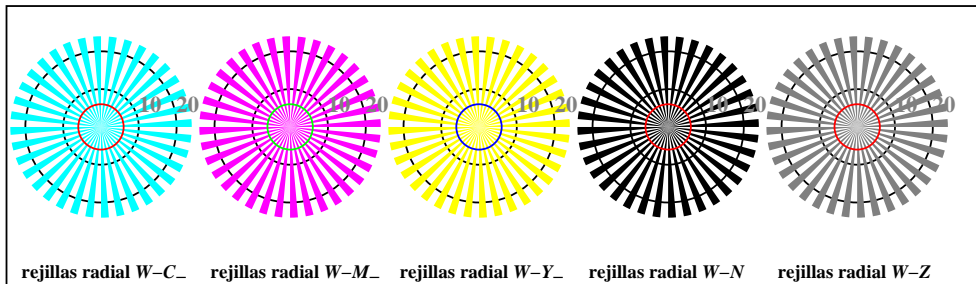


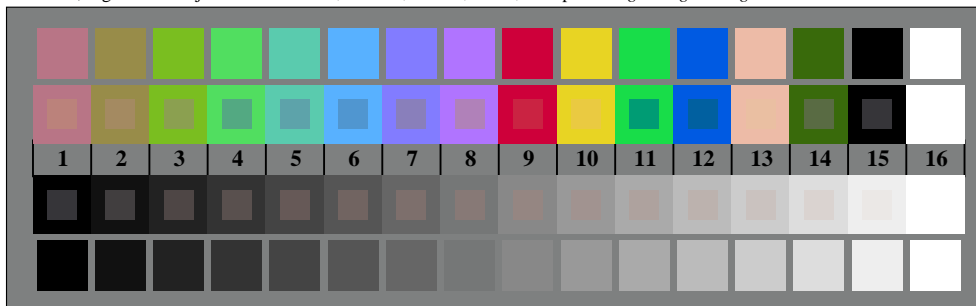
TS921-1, Fig. B4W-: 16 equidistant pasos $W-C_-$; $W-M_-$; $W-Y_-$; $W-N_-$; $rgb/cmy0\ set(rgb/cmyk)color$



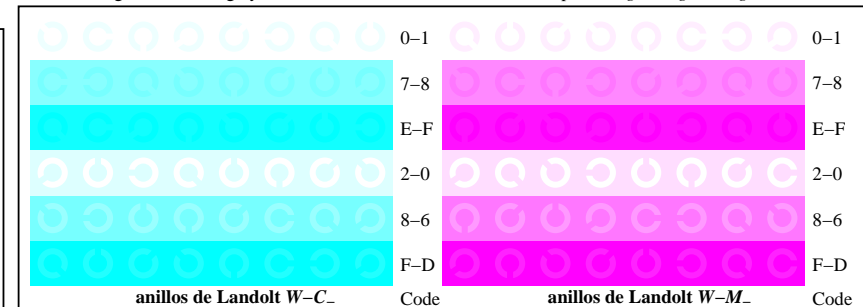
TS921-3, Fig. B5W-: código y Landolt anillos N_- ; C_- ; M_- ; Y_- ; Z_- ; PS operator $rgb \rightarrow rgb_setrgbcolor$



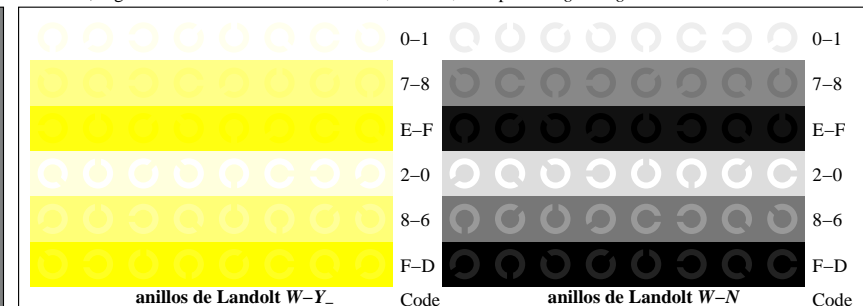
TS920-5, Fig. B2W-: rejillas radial $W-C_-$; $W-M_-$; $W-Y_-$; $W-N_-$; PS operator $rgb \rightarrow rgb_setrgbcolor$



TS920-7, Fig. B3W-: CIE 14 colores del test y 2 + 16 pasos de gris (sf); $rgb/cmy0\ set(rgb/cmyk)color$



TS921-5, Fig. B6W-: anillos de Landolt $W-C_-$; $W-M_-$; PS operator $rgb\ setrgbcolor$



TS921-7, Fig. B7W-: anillos de Landolt $W-Y_-$; $W-N_-$; PS operator $rgb\ setrgbcolor$